Ein und Ausgabe: Farbmetrisches Drucker-Reflektiv-System ORS20_95, L*=20_95 für relativen CIELAB-Buntton $h^* = lab^*h^* = h_{ab}/360 = 0.451$ $u^*_\varepsilon = g00b$

Daten für jede Farbe:
*lab*ich** und *lab*icu**
Bunttontexte:
$u^*_\varepsilon = g00b$ $u^*_d = I12c$
Kontrastreduzierungsfaktor:
$c_R = 1.0$
Dreiecks-Helligkeit t^*

Daten für Maximalfarbe (Ma):
$LAB^*LAB^*_{Ma}$: 56 −58 19
$LAB^*LCH^*_{Ma}$: 56 61 162
$lab^*rgb^*_{Ma}$: 0.0 1.0 0.0
$lab^*olv^*_{Ma}$: 0.0 1.0 0.12
Dreiecks-Helligkeit t^*

%Umfang $u^*_{vol} = 87$
%Regularität $u^*_{R,rel} = 67$
$u^*_{C,rel} = 59$

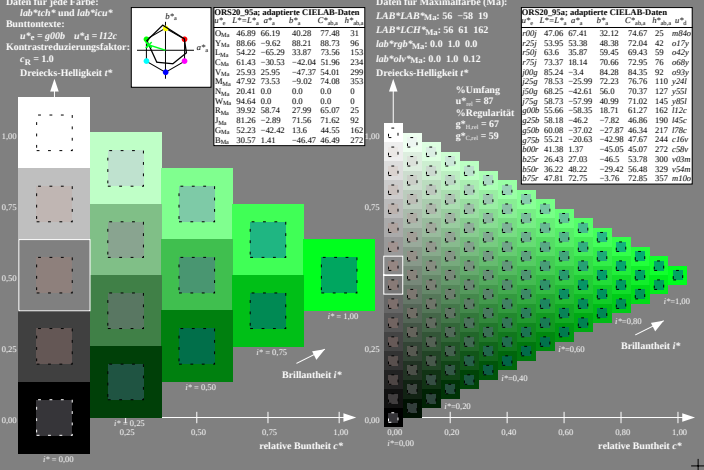

ORS20_95a; adaptierte CIELAB-Daten

u^*_ε	L^*_{ab}	a^*_{ab}	b^*_{ab}	$C^*_{ab,a}$	$h^*_{ab,a}$	u^*_d
O_{Ma}	46.89	66.19	40.28	77.48	31	
Y_{Ma}	88.66	−9.62	88.21	88.73	96	
L_{Ma}	54.22	−65.29	33.87	73.56	153	
C_{Ma}	61.43	−30.53	−42.04	51.96	234	
V_{Ma}	25.93	25.95	−47.37	54.01	299	
M_{Ma}	47.92	73.53	−9.02	74.08	353	
N_{Ma}	20.41	0.0	0.0	0.0	0	
W_{Ma}	94.64	0.0	0.0	0.0	0	
R_{Ma}	39.92	58.74	27.99	65.07	25	
I_{Ma}	81.26	−2.89	71.56	71.62	92	
G_{Ma}	52.23	−42.42	13.6	44.55	162	
B_{Ma}	30.57	1.41	−46.47	46.49	272	

ORS20_95a; adaptierte CIELAB-Daten

u^*_ε	L^*_{ab}	a^*_{ab}	b^*_{ab}	$C^*_{ab,a}$	$h^*_{ab,a}$	u^*_d
r00	47.06	67.41	32.12	74.67	25	m84e
r25	53.95	53.38	48.38	72.04	42	o17y
r50	63.6	35.87	59.45	69.43	59	o42y
r75	73.37	18.14	70.66	72.95	76	o60y
y00	85.24	−3.4	84.28	84.35	92	o93y
y25	78.53	−25.99	72.23	76.76	110	y24l
y50	68.25	−42.61	56.0	70.37	127	y55l
y75	58.73	−57.99	40.99	71.02	145	y85l
g00b	55.66	−58.35	18.71	61.27	162	l12c
g25b	58.18	−46.2	−7.82	46.86	190	l45c
g50b	60.08	−37.02	−27.87	46.34	217	l78c
g75b	55.21	−20.63	−42.98	47.67	244	c16v
b00r	41.38	1.37	−45.05	45.07	272	c58v
b25r	26.43	27.03	−46.5	53.78	300	v03m
b50r	36.22	48.22	−29.42	56.48	329	v54m
b75r	47.81	72.75	−3.76	72.85	357	m10c

Ein und Ausgabe: Farbmetrisches Drucker-Reflektiv-System ORS20_95, L*=20_95 für relativen CIELAB-Buntton $h^* = lab^*h^* = h_{ab}/360 = 0.527$ $u^*_\varepsilon = g25b$

Daten für jede Farbe:
*lab*ich** und *lab*icu**
Bunttontexte:
$u^*_\varepsilon = g25b$ $u^*_d = I45c$
Kontrastreduzierungsfaktor:
$c_R = 1.0$
Dreiecks-Helligkeit t^*

Daten für Maximalfarbe (Ma):
$LAB^*LAB^*_{Ma}$: 58 −46 −8
$LAB^*LCH^*_{Ma}$: 58 47 189
$lab^*rgb^*_{Ma}$: 0.0 1.0 0.5
$lab^*olv^*_{Ma}$: 0.0 1.0 0.45
Dreiecks-Helligkeit t^*

%Umfang $u^*_{vol} = 87$
%Regularität $u^*_{R,rel} = 67$
$u^*_{C,rel} = 59$

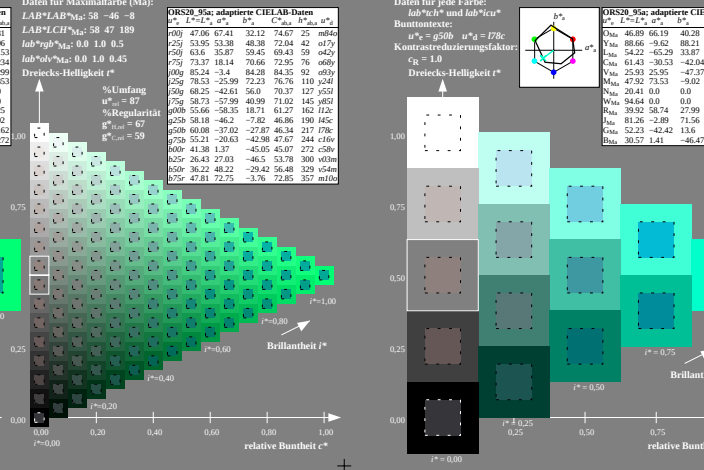

ORS20_95a; adaptierte CIELAB-Daten

u^*_ε	L^*_{ab}	a^*_{ab}	b^*_{ab}	$C^*_{ab,a}$	$h^*_{ab,a}$	u^*_d
O_{Ma}	46.89	66.19	40.28	77.48	31	
Y_{Ma}	88.66	−9.62	88.21	88.73	96	
L_{Ma}	54.22	−65.29	33.87	73.56	153	
C_{Ma}	61.43	−30.53	−42.04	51.96	234	
V_{Ma}	25.93	25.95	−47.37	54.01	299	
M_{Ma}	47.92	73.53	−9.02	74.08	353	
N_{Ma}	20.41	0.0	0.0	0.0	0	
W_{Ma}	94.64	0.0	0.0	0.0	0	
R_{Ma}	39.92	58.74	27.99	65.07	25	
I_{Ma}	81.26	−2.89	71.56	71.62	92	
G_{Ma}	52.23	−42.42	13.6	44.55	162	
B_{Ma}	30.57	1.41	−46.47	46.49	272	

ORS20_95a; adaptierte CIELAB-Daten

u^*_ε	L^*_{ab}	a^*_{ab}	b^*_{ab}	$C^*_{ab,a}$	$h^*_{ab,a}$	u^*_d
r00	47.06	67.41	32.12	74.67	25	m84e
r25	53.95	53.38	48.38	72.04	42	o17y
r50	63.6	35.87	59.45	69.43	59	o42y
r75	73.37	18.14	70.66	72.95	76	o60y
y00	85.24	−3.4	84.28	84.35	92	o93y
y25	78.53	−25.99	72.23	76.76	110	y24l
y50	68.25	−42.61	56.0	70.37	127	y55l
y75	58.73	−57.99	40.99	71.02	145	y85l
g00b	55.66	−58.35	18.71	61.27	162	l12c
g25b	58.18	−46.2	−7.82	46.86	190	l45c
g50b	60.08	−37.02	−27.87	46.34	217	l78c
g75b	55.21	−20.63	−42.98	47.67	244	c16v
b00r	41.38	1.37	−45.05	45.07	272	c58v
b25r	26.43	27.03	−46.5	53.78	300	v03m
b50r	36.22	48.22	−29.42	56.48	329	v54m
b75r	47.81	72.75	−3.76	72.85	357	m10c

Ein und Ausgabe: Farbmetrisches Drucker-Reflektiv-System ORS20_95, L*=20_95 für relativen CIELAB-Buntton $h^* = lab^*h^* = h_{ab}/360 = 0.603$ $u^*_\varepsilon = g50b$

Daten für jede Farbe:
*lab*ich** und *lab*icu**
Bunttontexte:
$u^*_\varepsilon = g50b$ $u^*_d = I78c$
Kontrastreduzierungsfaktor:
$c_R = 1.0$
Dreiecks-Helligkeit t^*

Daten für Maximalfarbe (Ma):
$LAB^*LAB^*_{Ma}$: 60 −37 −28
$LAB^*LCH^*_{Ma}$: 60 46 216
$lab^*rgb^*_{Ma}$: 0.0 1.0 1.0
$lab^*olv^*_{Ma}$: 0.0 1.0 0.79
Dreiecks-Helligkeit t^*

%Umfang $u^*_{vol} = 87$
%Regularität $u^*_{R,rel} = 67$
$u^*_{C,rel} = 59$

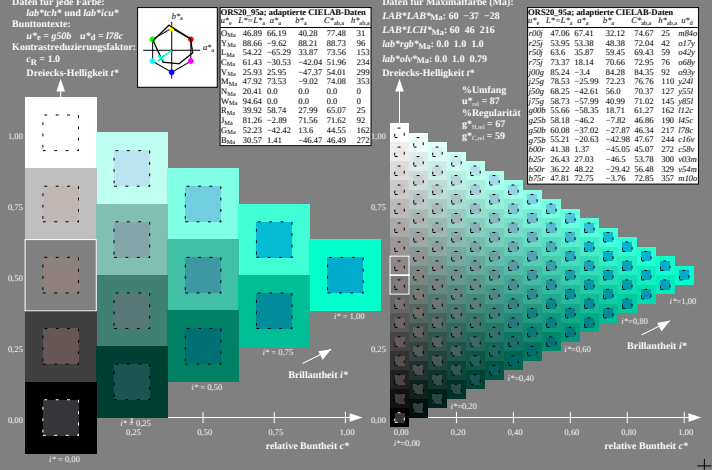

ORS20_95a; adaptierte CIELAB-Daten

u^*_ε	L^*_{ab}	a^*_{ab}	b^*_{ab}	$C^*_{ab,a}$	$h^*_{ab,a}$	u^*_d
O_{Ma}	46.89	66.19	40.28	77.48	31	
Y_{Ma}	88.66	−9.62	88.21	88.73	96	
L_{Ma}	54.22	−65.29	33.87	73.56	153	
C_{Ma}	61.43	−30.53	−42.04	51.96	234	
V_{Ma}	25.93	25.95	−47.37	54.01	299	
M_{Ma}	47.92	73.53	−9.02	74.08	353	
N_{Ma}	20.41	0.0	0.0	0.0	0	
W_{Ma}	94.64	0.0	0.0	0.0	0	
R_{Ma}	39.92	58.74	27.99	65.07	25	
I_{Ma}	81.26	−2.89	71.56	71.62	92	
G_{Ma}	52.23	−42.42	13.6	44.55	162	
B_{Ma}	30.57	1.41	−46.47	46.49	272	

ORS20_95a; adaptierte CIELAB-Daten

u^*_ε	L^*_{ab}	a^*_{ab}	b^*_{ab}	$C^*_{ab,a}$	$h^*_{ab,a}$	u^*_d
r00	47.06	67.41	32.12	74.67	25	m84e
r25	53.95	53.38	48.38	72.04	42	o17y
r50	63.6	35.87	59.45	69.43	59	o42y
r75	73.37	18.14	70.66	72.95	76	o60y
y00	85.24	−3.4	84.28	84.35	92	o93y
y25	78.53	−25.99	72.23	76.76	110	y24l
y50	68.25	−42.61	56.0	70.37	127	y55l
y75	58.73	−57.99	40.99	71.02	145	y85l
g00b	55.66	−58.35	18.71	61.27	162	l12c
g25b	58.18	−46.2	−7.82	46.86	190	l45c
g50b	60.08	−37.02	−27.87	46.34	217	l78c
g75b	55.21	−20.63	−42.98	47.67	244	c16v
b00r	41.38	1.37	−45.05	45.07	272	c58v
b25r	26.43	27.03	−46.5	53.78	300	v03m
b50r	36.22	48.22	−29.42	56.48	329	v54m
b75r	47.81	72.75	−3.76	72.85	357	m10c

Ein und Ausgabe: Farbmetrisches Drucker-Reflektiv-System ORS20_95, L*=20_95 für relativen CIELAB-Buntton $h^* = lab^*h^* = h_{ab}/360 = 0.679$ $u^*_\varepsilon = g75b$

Daten für jede Farbe:
*lab*ich** und *lab*icu**
Bunttontexte:
$u^*_\varepsilon = g75b$ $u^*_d = c16v$
Kontrastreduzierungsfaktor:
$c_R = 1.0$
Dreiecks-Helligkeit t^*

Daten für Maximalfarbe (Ma):
$LAB^*LAB^*_{Ma}$: 55 −21 −43
$LAB^*LCH^*_{Ma}$: 55 48 244
$lab^*rgb^*_{Ma}$: 0.0 0.5 1.0
$lab^*olv^*_{Ma}$: 0.0 0.84 1.0
Dreiecks-Helligkeit t^*

%Umfang $u^*_{vol} = 87$
%Regularität $u^*_{R,rel} = 67$
$u^*_{C,rel} = 59$

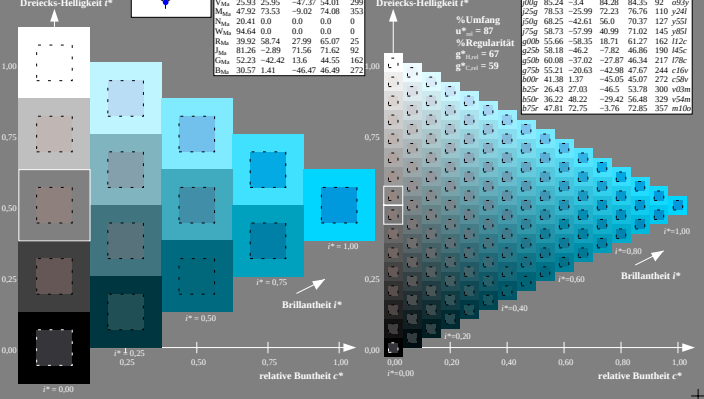

ORS20_95a; adaptierte CIELAB-Daten

u^*_ε	L^*_{ab}	a^*_{ab}	b^*_{ab}	$C^*_{ab,a}$	$h^*_{ab,a}$	u^*_d
O_{Ma}	46.89	66.19	40.28	77.48	31	
Y_{Ma}	88.66	−9.62	88.21	88.73	96	
L_{Ma}	54.22	−65.29	33.87	73.56	153	
C_{Ma}	61.43	−30.53	−42.04	51.96	234	
V_{Ma}	25.93	25.95	−47.37	54.01	299	
M_{Ma}	47.92	73.53	−9.02	74.08	353	
N_{Ma}	20.41	0.0	0.0	0.0	0	
W_{Ma}	94.64	0.0	0.0	0.0	0	
R_{Ma}	39.92	58.74	27.99	65.07	25	
I_{Ma}	81.26	−2.89	71.56	71.62	92	
G_{Ma}	52.23	−42.42	13.6	44.55	162	
B_{Ma}	30.57	1.41	−46.47	46.49	272	

ORS20_95a; adaptierte CIELAB-Daten

u^*_ε	L^*_{ab}	a^*_{ab}	b^*_{ab}	$C^*_{ab,a}$	$h^*_{ab,a}$	u^*_d
r00	47.06	67.41	32.12	74.67	25	m84e
r25	53.95	53.38	48.38	72.04	42	o17y
r50	63.6	35.87	59.45	69.43	59	o42y
r75	73.37	18.14	70.66	72.95	76	o60y
y00	85.24	−3.4	84.28	84.35	92	o93y
y25	78.53	−25.99	72.23	76.76	110	y24l
y50	68.25	−42.61	56.0	70.37	127	y55l
y75	58.73	−57.99	40.99	71.02	145	y85l
g00b	55.66	−58.35	18.71	61.27	162	l12c
g25b	58.18	−46.2	−7.82	46.86	190	l45c
g50b	60.08	−37.02	−27.87	46.34	217	l78c
g75b	55.21	−20.63	−42.98	47.67	244	c16v
b00r	41.38	1.37	−45.05	45.07	272	c58v
b25r	26.43	27.03	−46.5	53.78	300	v03m
b50r	36.22	48.22	−29.42	56.48	329	v54m
b75r	47.81	72.75	−3.76	72.85	357	m10c

Ein und Ausgabe: Farbmetrisches Drucker-Reflektiv-System ORS20_95, L*=20_95 für relativen CIELAB-Buntton $h^* = lab^*h^* = h_{ab}/360 = 0.755$ $u^*_\varepsilon = b00r$

Daten für jede Farbe:
*lab*ich** und *lab*icu**
Bunttontexte:
$u^*_\varepsilon = b00r$ $u^*_d = c58v$
Kontrastreduzierungsfaktor:
$c_R = 1.0$
Dreiecks-Helligkeit t^*

Daten für Maximalfarbe (Ma):
$LAB^*LAB^*_{Ma}$: 41 1 −45
$LAB^*LCH^*_{Ma}$: 41 45 271
$lab^*rgb^*_{Ma}$: 0.0 0.0 1.0
$lab^*olv^*_{Ma}$: 0.0 0.42 1.0
Dreiecks-Helligkeit t^*

%Umfang $u^*_{vol} = 87$
%Regularität $u^*_{R,rel} = 67$
$u^*_{C,rel} = 59$

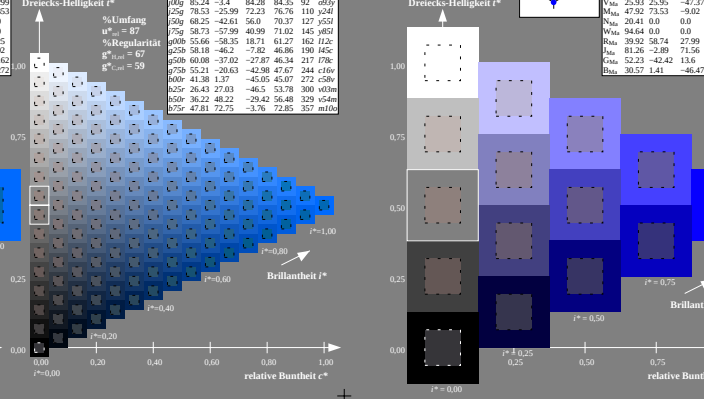

ORS20_95a; adaptierte CIELAB-Daten

u^*_ε	L^*_{ab}	a^*_{ab}	b^*_{ab}	$C^*_{ab,a}$	$h^*_{ab,a}$	u^*_d
O_{Ma}	46.89	66.19	40.28	77.48	31	
Y_{Ma}	88.66	−9.62	88.21	88.73	96	
L_{Ma}	54.22	−65.29	33.87	73.56	153	
C_{Ma}	61.43	−30.53	−42.04	51.96	234	
V_{Ma}	25.93	25.95	−47.37	54.01	299	
M_{Ma}	47.92	73.53	−9.02	74.08	353	
N_{Ma}	20.41	0.0	0.0	0.0	0	
W_{Ma}	94.64	0.0	0.0	0.0	0	
R_{Ma}	39.92	58.74	27.99	65.07	25	
I_{Ma}	81.26	−2.89	71.56	71.62	92	
G_{Ma}	52.23	−42.42	13.6	44.55	162	
B_{Ma}	30.57	1.41	−46.47	46.49	272	

ORS20_95a; adaptierte CIELAB-Daten

u^*_ε	L^*_{ab}	a^*_{ab}	b^*_{ab}	$C^*_{ab,a}$	$h^*_{ab,a}$	u^*_d
r00	47.06	67.41	32.12	74.67	25	m84e
r25	53.95	53.38	48.38	72.04	42	o17y
r50	63.6	35.87	59.45	69.43	59	o42y
r75	73.37	18.14	70.66	72.95	76	o60y
y00	85.24	−3.4	84.28	84.35	92	o93y
y25	78.53	−25.99	72.23	76.76	110	y24l
y50	68.25	−42.61	56.0	70.37	127	y55l
y75	58.73	−57.99	40.99	71.02	145	y85l
g00b	55.66	−58.35	18.71	61.27	162	l12c
g25b	58.18	−46.2	−7.82	46.86	190	l45c
g50b	60.08	−37.02	−27.87	46.34	217	l78c
g75b	55.21	−20.63	−42.98	47.67	244	c16v
b00r	41.38	1.37	−45.05	45.07	272	c58v
b25r	26.43	27.03	−46.5	53.78	300	v03m
b50r	36.22	48.22	−29.42	56.48	329	v54m
b75r	47.81	72.75	−3.76	72.85	357	m10c

Ein und Ausgabe: Farbmetrisches Drucker-Reflektiv-System ORS20_95, L*=20_95 für relativen CIELAB-Buntton $h^* = lab^*h^* = h_{ab}/360 = 0.834$ $u^*_\varepsilon = b25r$

Daten für jede Farbe:
*lab*ich** und *lab*icu**
Bunttontexte:
$u^*_\varepsilon = b25r$ $u^*_d = v03m$
Kontrastreduzierungsfaktor:
$c_R = 1.0$
Dreiecks-Helligkeit t^*

Daten für Maximalfarbe (Ma):
$LAB^*LAB^*_{Ma}$: 26 27 −46
$LAB^*LCH^*_{Ma}$: 26 54 300
$lab^*rgb^*_{Ma}$: 0.5 0.0 1.0
$lab^*olv^*_{Ma}$: 0.03 0.0 1.0
Dreiecks-Helligkeit t^*

%Umfang $u^*_{vol} = 87$
%Regularität $u^*_{R,rel} = 67$
$u^*_{C,rel} = 59$

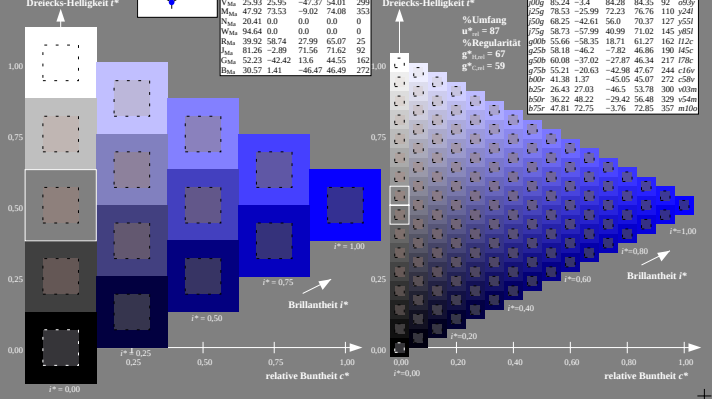

ORS20_95a; adaptierte CIELAB-Daten

u^*_ε	L^*_{ab}	a^*_{ab}	b^*_{ab}	$C^*_{ab,a}$	$h^*_{ab,a}$	u^*_d
O_{Ma}	46.89	66.19	40.28	77.48	31	
Y_{Ma}	88.66	−9.62	88.21	88.73	96	
L_{Ma}	54.22	−65.29	33.87	73.56	153	
C_{Ma}	61.43	−30.53	−42.04	51.96	234	
V_{Ma}	25.93	25.95	−47.37	54.01	299	
M_{Ma}	47.92	73.53	−9.02	74.08	353	
N_{Ma}	20.41	0.0	0.0	0.0	0	
W_{Ma}	94.64	0.0	0.0	0.0	0	
R_{Ma}	39.92	58.74	27.99	65.07	25	
I_{Ma}	81.26	−2.89	71.56	71.62	92	
G_{Ma}	52.23	−42.42	13.6	44.55	162	
B_{Ma}	30.57	1.41	−46.47	46.49	272	

ORS20_95a; adaptierte CIELAB-Daten

u^*_ε	L^*_{ab}	a^*_{ab}	b^*_{ab}	$C^*_{ab,a}$	$h^*_{ab,a}$	u^*_d
r00	47.06	67.41	32.12	74.67	25	m84e
r25	53.95	53.38	48.38	72.04	42	o17y
r50	63.6	35.87	59.45	69.43	59	o42y
r75	73.37	18.14	70.66	72.95	76	o60y
y00	85.24	−3.4	84.28	84.35	92	o93y
y25	78.53	−25.99	72.23	76.76	110	y24l
y50	68.25	−42.61	56.0	70.37	127	y55l
y75	58.73	−57.99	40.99	71.02	145	y85l
g00b	55.66	−58.35	18.71	61.27	162	l12c
g25b	58.18	−46.2	−7.82	46.86	190	l45c
g50b	60.08	−37.02	−27.87	46.34	217	l78c
g75b	55.21	−20.63	−42.98	47.67	244	c16v
b00r	41.38	1.37	−45.05	45.07	272	c58v
b25r	26.43	27.03	−46.5	53.78	300	v03m
b50r	36.22	48.22	−29.42	56.48	329	v54m
b75r	47.81	72.75	−3.76	72.85	357	m10c

Ein und Ausgabe: Farbmetrisches Drucker-Reflektiv-System ORS20_95, L*=20_95 für relativen CIELAB-Buntton $h^* = lab^*h^* = h_{ab}/360 = 0.913$ $u^*_\varepsilon = b50r$

Daten für jede Farbe:
*lab*ich** und *lab*icu**
Bunttontexte:
$u^*_\varepsilon = b50r$ $u^*_d = v54m$
Kontrastreduzierungsfaktor:
$c_R = 1.0$
Dreiecks-Helligkeit t^*

Daten für Maximalfarbe (Ma):
$LAB^*LAB^*_{Ma}$: 36 48 −29
$LAB^*LCH^*_{Ma}$: 36 56 328
$lab^*rgb^*_{Ma}$: 1.0 0.0 1.0
$lab^*olv^*_{Ma}$: 0.55 0.0 1.0
Dreiecks-Helligkeit t^*

%Umfang $u^*_{vol} = 87$
%Regularität $u^*_{R,rel} = 67$
$u^*_{C,rel} = 59$

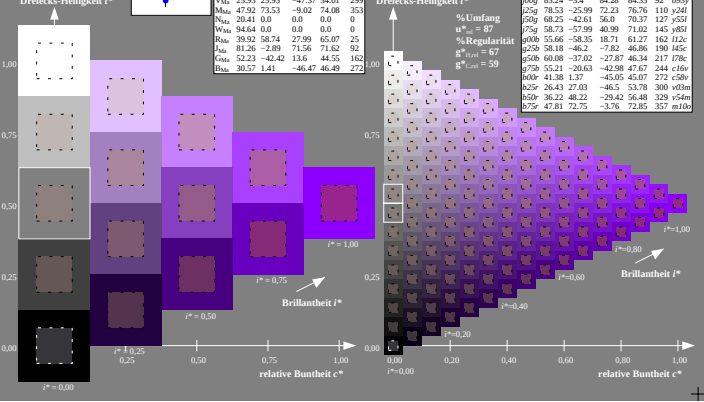

ORS20_95a; adaptierte CIELAB-Daten

u^*_ε	L^*_{ab}	a^*_{ab}	b^*_{ab}	$C^*_{ab,a}$	$h^*_{ab,a}$	u^*_d
O_{Ma}	46.89	66.19	40.28	77.48	31	
Y_{Ma}	88.66	−9.62	88.21	88.73	96	
L_{Ma}	54.22	−65.29	33.87	73.56	153	
C_{Ma}	61.43	−30.53	−42.04	51.96	234	
V_{Ma}	25.93	25.95	−47.37	54.01	299	
M_{Ma}	47.92	73.53	−9.02	74.08	353	
N_{Ma}	20.41	0.0	0.0	0.0	0	
W_{Ma}	94.64	0.0	0.0	0.0	0	
R_{Ma}	39.92	58.74	27.99	65.07	25	
I_{Ma}	81.26	−2.89	71.56	71.62	92	
G_{Ma}	52.23	−42.42	13.6	44.55	162	
B_{Ma}	30.57	1.41	−46.47	46.49	272	

ORS20_95a; adaptierte CIELAB-Daten

u^*_ε	L^*_{ab}	a^*_{ab}	b^*_{ab}	$C^*_{ab,a}$	$h^*_{ab,a}$	u^*_d
r00	47.06	67.41	32.12	74.67	25	m84e
r25	53.95	53.38	48.38	72.04	42	o17y
r50	63.6	35.87	59.45	69.43	59	o42y
r75	73.37	18.14	70.66	72.95	76	o60y
y00	85.24	−3.4	84.28	84.35	92	o93y
y25	78.53	−25.99	72.23	76.76	110	y24l
y50	68.25	−42.61	56.0	70.37	127	y55l
y75	58.73	−57.99	40.99	71.02	145	y85l
g00b	55.66	−58.35	18.71	61.27	162	l12c
g25b	58.18	−46.2	−7.82	46.86	190	l45c
g50b	60.08	−37.02	−27.87	46.34	217	l78c
g75b	55.21	−20.63	−42.98	47.67	244	c16v
b00r	41.38	1.37	−45.05	45.07	272	c58v
b25r	26.43	27.03	−46.5	53.78	300	v03m
b50r	36.22	48.22	−29.42	56.48	329	v54m
b75r	47.81	72.75	−3.76	72.85	357	m10c

Ein und Ausgabe: Farbmetrisches Drucker-Reflektiv-System ORS20_95, L*=20_95 für relativen CIELAB-Buntton $h^* = lab^*h^* = h_{ab}/360 = 0.992$ $u^*_\varepsilon = b75r$

Daten für jede Farbe:
*lab*ich** und *lab*icu**
Bunttontexte:
$u^*_\varepsilon = b75r$ $u^*_d = m10o$
Kontrastreduzierungsfaktor:
$c_R = 1.0$
Dreiecks-Helligkeit t^*

Daten für Maximalfarbe (Ma):
$LAB^*LAB^*_{Ma}$: 48 73 −4
$LAB^*LCH^*_{Ma}$: 48 73 357
$lab^*rgb^*_{Ma}$: 1.0 0.0 0.5
$lab^*olv^*_{Ma}$: 1.0 0.0 0.89
Dreiecks-Helligkeit t^*

%Umfang $u^*_{vol} = 87$
%Regularität $u^*_{R,rel} = 67$
$u^*_{C,rel} = 59$

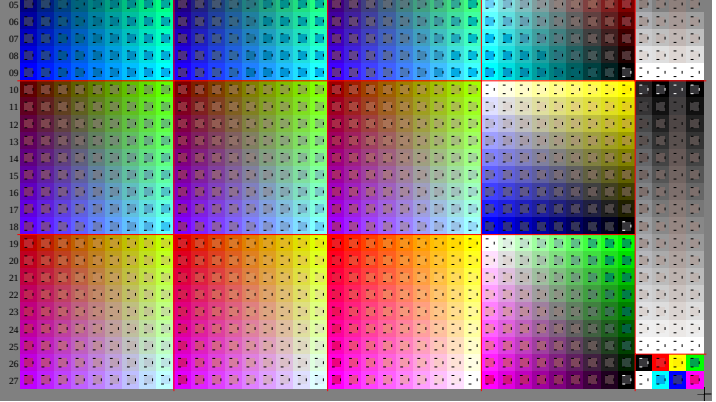

ORS20_95a; adaptierte CIELAB-Daten

u^*_ε	L^*_{ab}	a^*_{ab}	b^*_{ab}	$C^*_{ab,a}$	$h^*_{ab,a}$	u^*_d
O_{Ma}	46.89	66.19	40.28	77.48	31	
Y_{Ma}	88.66	−9.62	88.21	88.73	96	
L_{Ma}	54.22	−65.29	33.87	73.56	153	
C_{Ma}	61.43	−30.53	−42.04	51.96	234	
V_{Ma}	25.93	25.95	−47.37	54.01	299	
M_{Ma}	47.92	73.53	−9.02	74.08	353	
N_{Ma}	20.41	0.0	0.0	0.0	0	
W_{Ma}	94.64	0.0	0.0	0.0	0	
R_{Ma}	39.92	58.74	27.99	65.07	25	
I_{Ma}	81.26	−2.89	71.56	71.62	92	
G_{Ma}	52.23	−42.42	13.6	44.55	162	
B_{Ma}	30.57	1.41	−46.47	46.49	272	

ORS20_95a; adaptierte CIELAB-Daten

u^*_ε	L^*_{ab}	a^*_{ab}	b^*_{ab}	$C^*_{ab,a}$	$h^*_{ab,a}$	u^*_d
r00	47.06	67.41	32.12	74.67	25	m84e
r25	53.95	53.38	48.38	72.04	42	o17y
r50	63.6	35.87	59.45	69.43	59	o42y
r75	73.37	18.14	70.66	72.95	76	o60y
y00	85.24	−3.4	84.28	84.35	92	o93y
y25	78.53	−25.99	72.23	76.76	110	y24l
y50	68.25	−42.61	56.0	70.37	127	y55l
y75	58.73	−57.99	40.99	71.02	145	y85l
g00b	55.66	−58.35	18.71	61.27	162	l12c
g25b	58.18	−46.2	−7.82	46.86	190	l45c
g50b	60.08	−37.02	−27.87	46.34	217	l78c
g75b	55.21	−20.63	−42.98	47.67	244	c16v
b00r	41.38	1.37	−45.05	45.07	272	c58v
b25r	26.43	27.03	−46.5	53.78	300	v03m
b50r	36.22	48.22	−29.42	56.48	329	v54m
b75r	47.81	72.75	−3.76	72.85	357	m10c